

Myxomphalia maura

(Fr.) Hora, *Trans. Br. mycol. Soc.* 43(2): 453 (1960)



Tricholomataceae, Agaricales, Agaricomycetidae, Agaricomycetes, Agaricomycotina, Basidiomycota, Fungi

Sinónimos homotípicos:

Agaricus maurus Fr., *Syst. mycol.* (Lundae) 1: 168 (1821)
Omphalia maura (Fr.) Gillet, *Hyménomycètes* (Alençon): 290 (1876) [1878]
Omphalina maura (Fr.) Quél., *Enchir. fung.* (Paris): 42 (1886)
Gymnopus maurus (Fr.) Murrill, *N. Amer. Fl.* (New York) 9(5): 363 (1916)
Mycena maura (Fr.) Kühner, *Encyclop. Mycol.* 10: 535 (1935)
Fayodia maura (Fr.) Singer, *Annls mycol.* 34(4/5): 331 (1936)
Hemimycena maura (Fr.) Singer, *Revue Mycol.*, Paris 3: 195 (1938)
Myxomphalia maura (Fr.) H.E. Bigelow, *Can. J. Bot.* 37(5): 777 (1959)

Material estudiado:

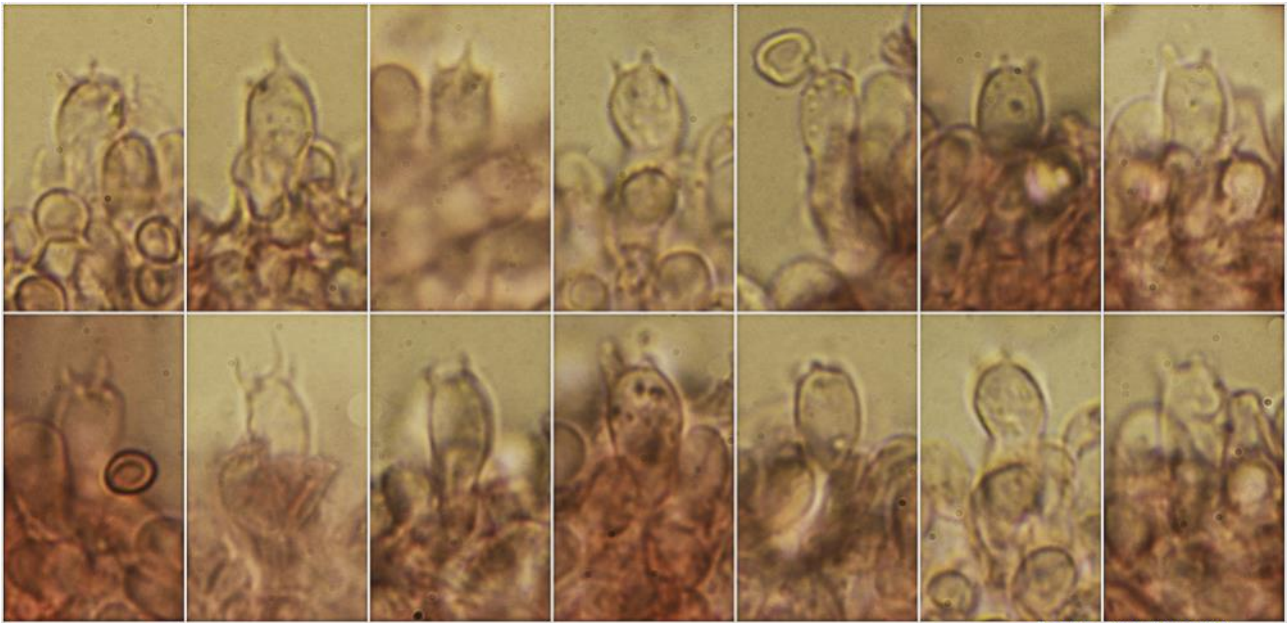
España, Andalucía, Jaén, Aldeaquemada, El Camino, 30SVH6449, 916 m, en suelo entre restos de hoguera bajo *Pinus pinaster*, 28-XI-2015, leg. Dianora Estrada, Demetrio Merino y resto asistentes a las Jornadas de Micobotanica Jaén, JA-CUSSTA: 9298.

Descripción macroscópica:

Pileo de 13-34 mm de diám., de deprimido a umbilicado, estriado por transparencia desde el margen hasta casi el centro. **Cutícula** lisa, muy higrófana, de pardo negruzca a pardo grisácea con la edad, más oscura en el centro. **Láminas** adnadas a subdecurrentes, de blanquecinas a gris ocráceo con la edad, arista pruinosa, blanquecina. **Estípite** de 32-36 x 3-4 mm, cilíndrico, liso, con ápice ocráceo claro que se va oscureciendo hacia la base, con base bulbillosa y blanquecina por restos del micelio. **Olor** agradable.

Descripción microscópica:

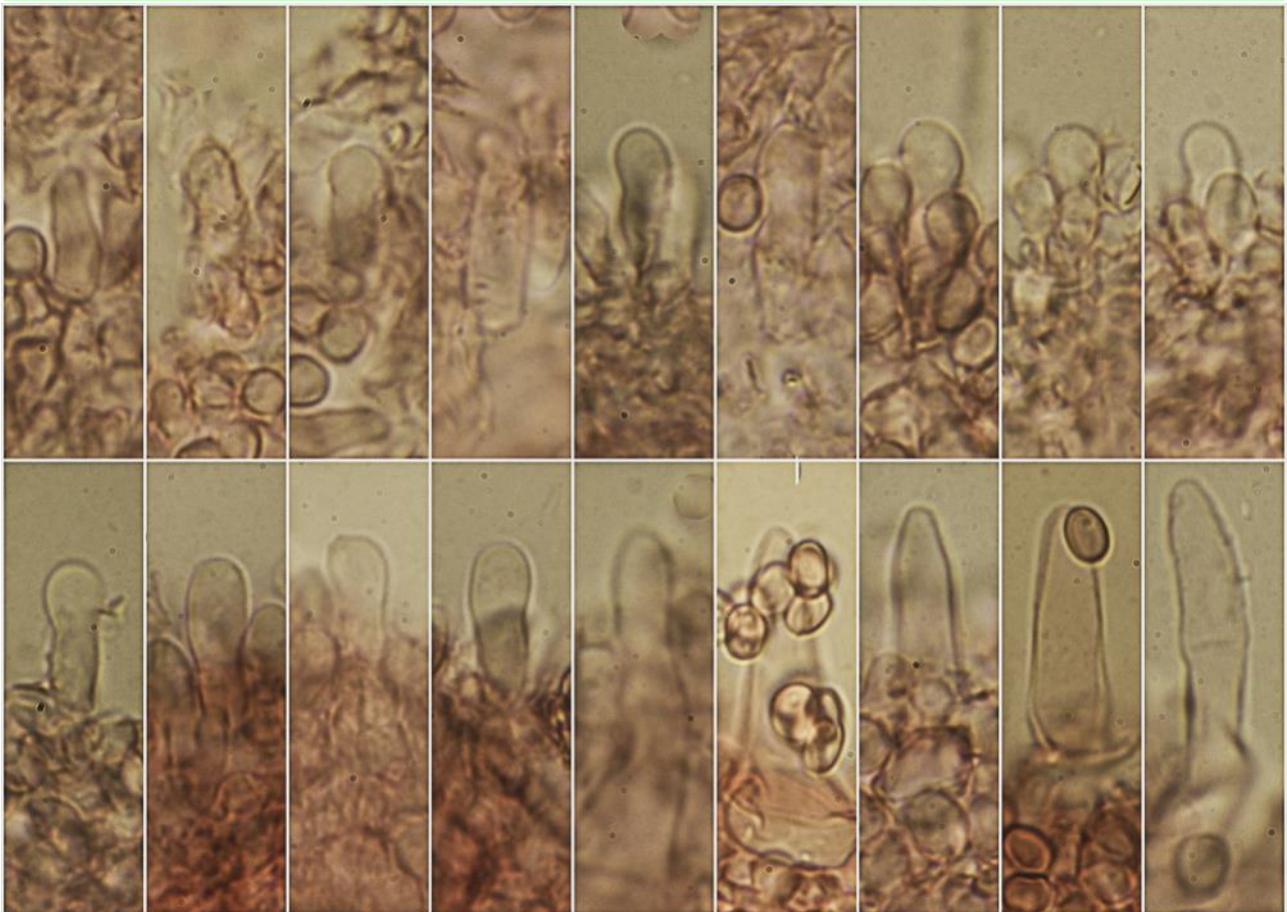
Basidios claviformes, tetraspóricos, con fíbula basal, de (14,7-)15,5-18,8(-20,1) × (5,3-)5,6-7,0(-7,2) µm; N = 21; Me = 17,2 × 6,2 µm. **Basidiosporas** de globosas a subelipsoidales, lisas, hialinas, gutuladas, amiloides, de (4,1-)5,2-6,0(-6,7) × (3,9-)4,4-5,4(-5,7) µm; Q = 1,0-1,3(-1,4); N = 112; V = (34-)53-89(-114) µm³; Me = 5,6 × 4,9 µm; Qe = 1,2; Ve = 70 µm³. **Pleuro y queilocistidios**, cilíndricos a claviformes, subcapitados, de (14,4-)17,8-36,6(-42,3) × (5,2-)5,4-6,9(-11,2) µm; N = 26; Me = 26,1 × 6,6 µm. **Pileipellis** compuesta por una capa de hifas gelificadas, intrincadas y una subcutis de hifas paralelas. **Fíbulas** abundantes en todas las estructuras.



(14,7-)15,5-18,8(-20,1) × (5,3-)5,6-7,0(-7,2) μm; N = 21; Me = 17,2 × 6,2 μm

Basidios Rojo Congo SDS
10 μm

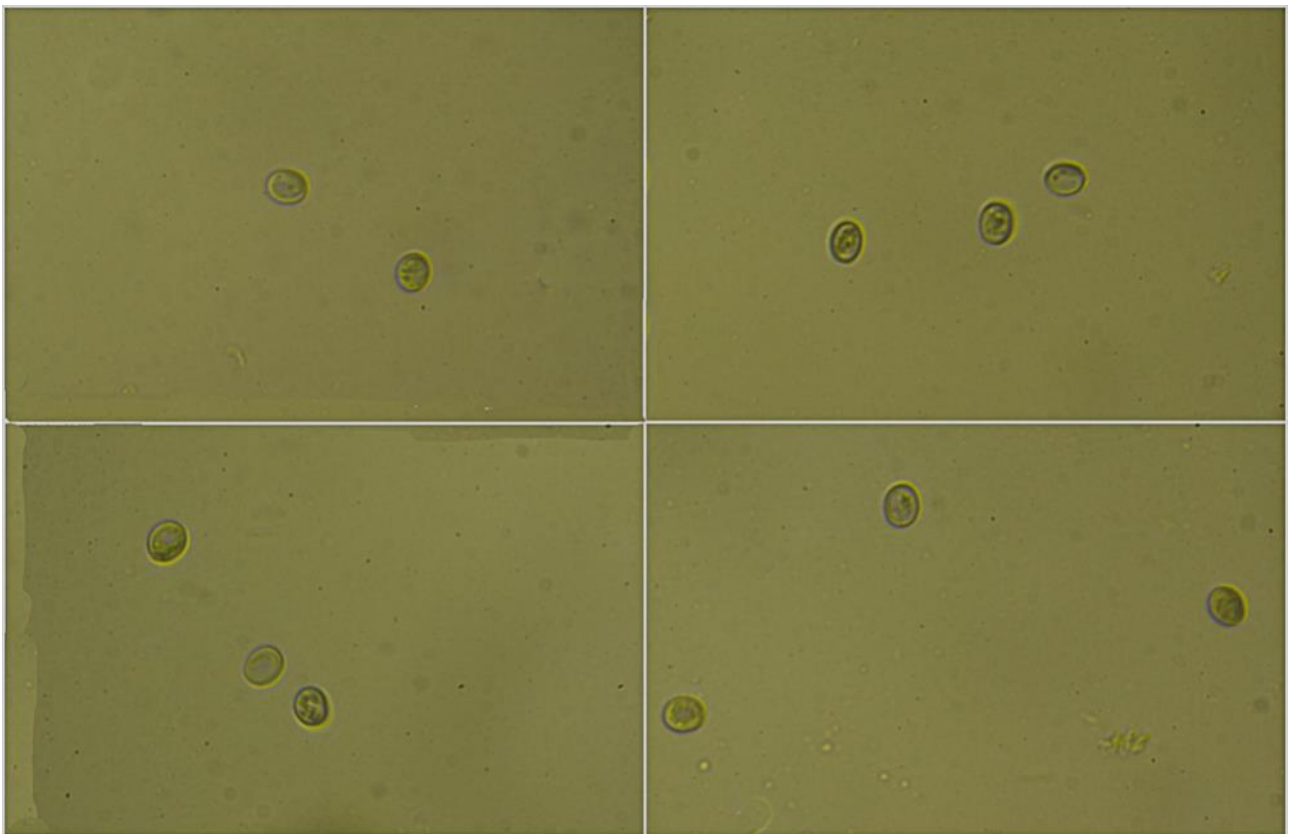
A. Basidios.



(14,4-)17,8-36,6(-42,3) × (5,2-)5,4-6,9(-11,2) μm; N = 26; Me = 26,1 × 6,6 μm

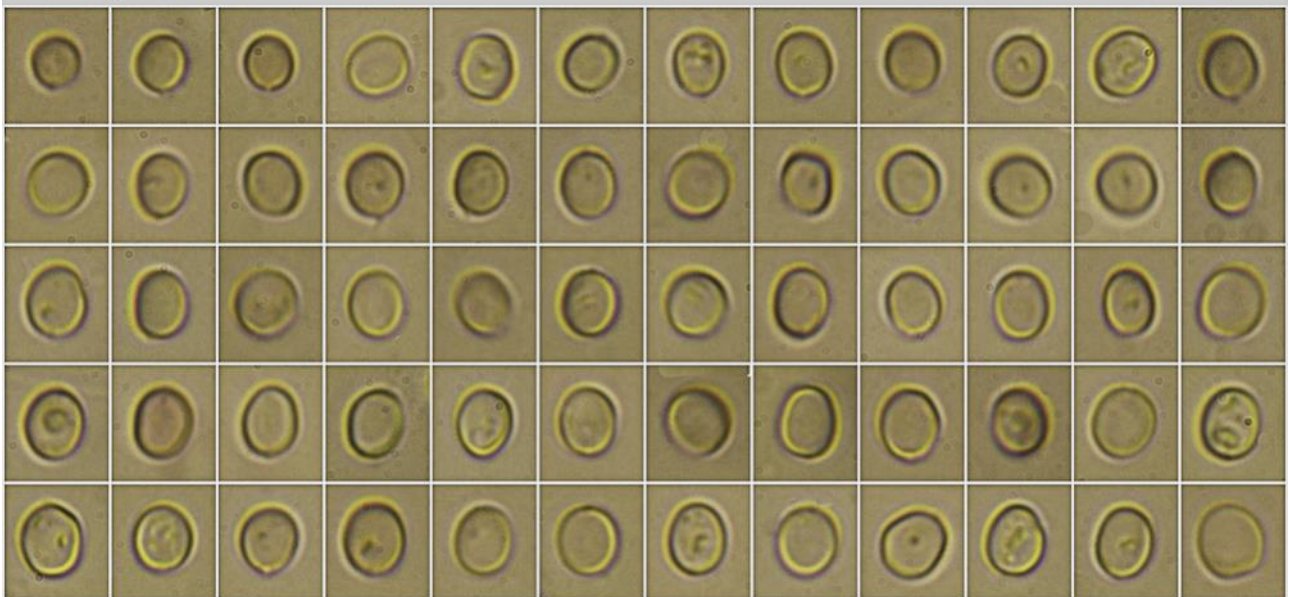
Cheilo y Pleurocistidios Rojo Congo SDS
20 μm

B. Cheilo y Pleurocistidios.



Esporas IKI1

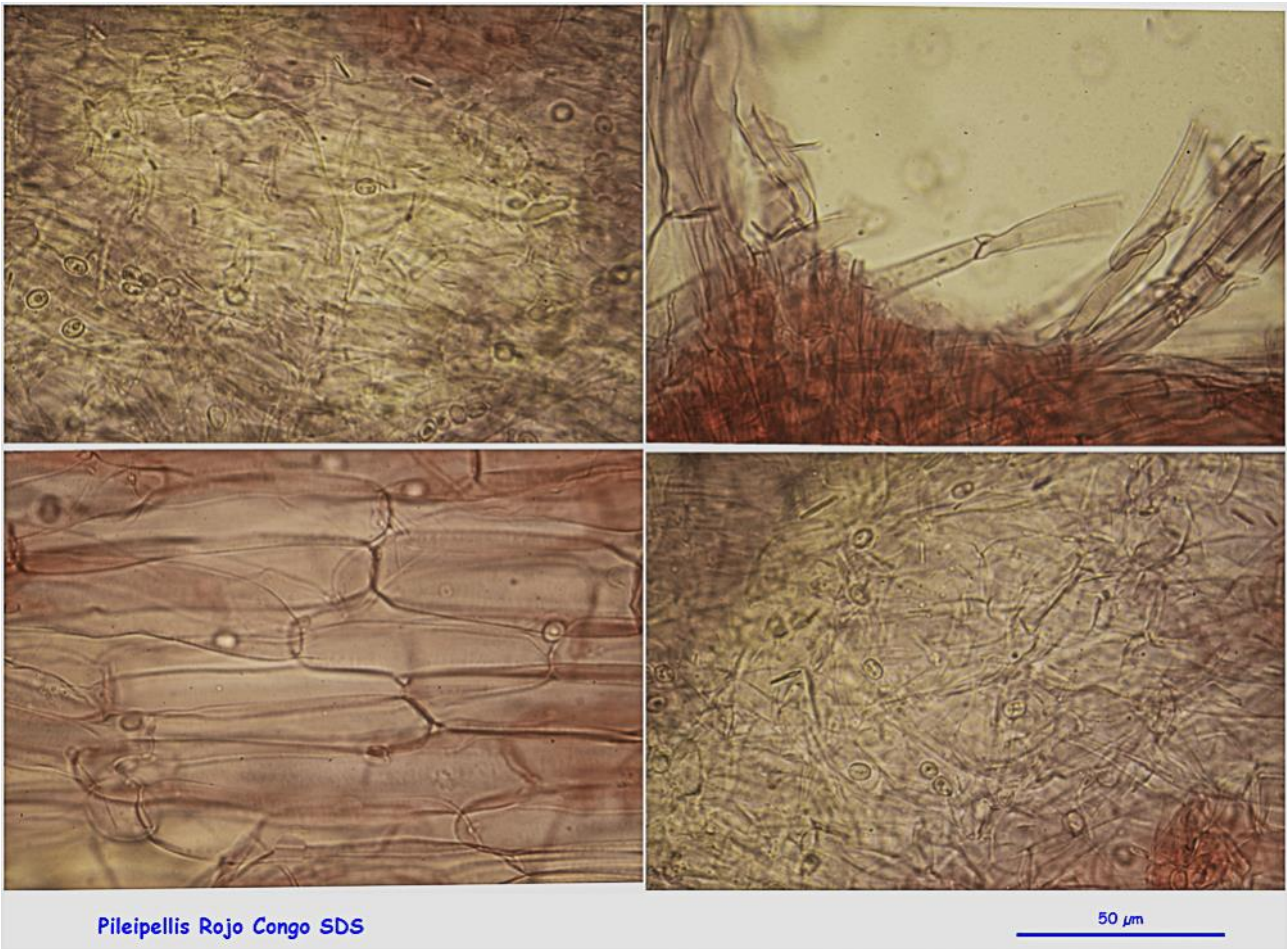
10 μ m



(4,1-)-5,2-6,0(-6,7) \times (3,9-)-4,4-5,4(-5,7) μ m; Q = 1,0-1,3(-1,4); N = 112
 V = (34-)-53-89(-114) μ m³; Me = 5,6 \times 4,9 μ m; Qe = 1,2; Ve = 70 μ m³

Esporas Rojo Congo SDS
 10 μ m

C. Esporas.



Pileipellis Rojo Congo SDS

50 μm

D. Pileipellis.

Observaciones

Se distingue por su crecimiento en suelos quemados, porte onfaliforme, esporada blanca y esporas amiloides, lo que la separa de algunas especies del género *Lyophyllum* y del género *Faerberia* (BREITENBACH & KRÄNZLIN, 1991:298).

Otras descripciones y fotografías

- BREITENBACH J. & F. KRÄNZLIN (1991). *Fungi of Switzerland Vol. 3. Bolets and agarics 1st. part.* Mykologia Lucern. Pág. 298.

Salvo indicación en contrario, las fotos están realizadas por Demetrio Merino.